

关于双顶边星图的优美性*

陆书环

(曲阜师范大学数学系,曲阜273165)

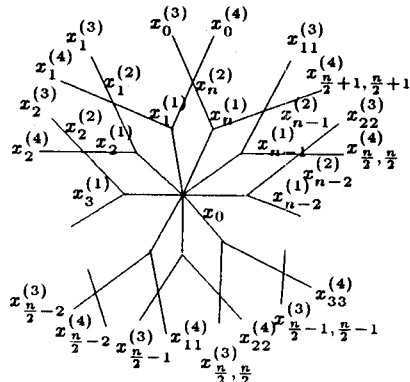
对于一简单图 $G = (V, E)$, 若对于每一个 $v \in V$, 存在一个整数 $l(v)$ (称为顶点 v 的标号) 使满足:

- (a) $\forall u, v \in V$, 若 $u \neq v$, 则 $l(u) \neq l(v)$;
- (b) $\max\{l(v) | v \in V\} = |E|$;
- (c) $\forall e', e'' \in E$, 若 $e' \neq e''$, 则 $l'(e') \neq l'(e'')$, 这里 $l'(e)$ 定义为 $|l(u) - l(v)|$, 若 $e = uv$, 则称 G 为优美图 (graceful graph).

在文献[1]中, C. Hoede and H. Kuiper 证明了所有的轮都是优美图; 文献[2]又指出了所有的齿轮图也是优美图. 本文将给出在齿轮图每个齿的顶端加上两条长度为 1 的边所得的图亦为优美图.

定义 在齿轮图 \tilde{W}_n 的每个齿的顶端加上两条长度为 1 的边后所得的图称为双顶边星图. 记为 \tilde{W}_n^* .

下面分别讨论当 n 为偶数或奇数时, \tilde{W}_n^* 的优美性.



(图 1)

引理 1 当 n 为偶数时, \tilde{W}_n^* 是优美图.

证明 当 $n \leq 6$ 时容易给出 \tilde{W}_n^* 的直观优美标号图.

当 $n \geq 8$ 时定义顶点标号 $l((\tilde{W}_n^*)$ 如图 1 所示):

$$l(x_0) = 0; l(x_i^{(1)}) = 5n - (i-1), i=1, 2, 3, \dots, n.$$

* 1991年3月16日收到.

$$l(x_i^{(2)}) = n+i-1, \quad i=1,2,3,\dots,n-1.$$

$$l(x_n^{(2)}) = l(x_n^{(1)}) - 3; \quad l(x_0^{(3)}) = l(x_n^{(2)}) - 1.$$

$$l(x_i^{(3)}) = n-(i+4), \quad i=1,2,3,\dots,\frac{n}{2}-1.$$

$$l(x_n^{(3)}) = 2n+(i-1), \quad i=2,3,\dots,\frac{n}{2}.$$

$$l(x_{11}^{(3)}) = l(x_n^{(2)}) + 2.$$

$$l(x_0^{(4)}) = l(x_0^{(3)}) - 1.$$

$$l(x_i^{(4)}) = \frac{5n}{2} + 2j, \quad j=2,3,4,\dots,\frac{n}{2}-1; \quad i=j-1.$$

$$l(x_n^{(4)}) = \frac{5n}{2} + (2i-1), \quad i=1,2,3,4,\dots,\frac{n}{2}+1.$$

特别指出, 当 $n=8$ 时定义: $l(x_0^{(3)})=31, l(x_0^{(4)})=28$.

当 $n=10$ 时定义: $l(x_0^{(3)})=20, l(x_0^{(4)})=36; l(x_{\frac{n}{2}+1, \frac{n}{2}+1}^{(4)})=l(x_{66}^{(4)})=19$.

(a) 易见 l 是由 $V(\tilde{W}_n^*)$ 到 $\{l(x) | x \in V(\tilde{W}_n^*)\} = \{0, n, n+1, \dots, 2n-2, n-5, n-6, \dots, \frac{n}{2}-3; 2n+1, 2n+2, \dots, \frac{5n}{2}-1; \frac{5n}{2}+1, \frac{5n}{2}+3, \dots, \frac{5n}{2}+(n+1); \frac{5n}{2}+4, \frac{5n}{2}+6, \dots, \frac{5n}{2}+(n-2); 4n-4, 4n-3, 4n-2, 4n, 4n+1, 4n+2, \dots, 5n\}$ 的 1-1 映射. 因而, $\forall x', x'' \in V(\tilde{W}_n^*)$, 若 $x' \neq x''$, 则 $l(x') \neq l(x'')$.

(b) 显然, $\max\{l(x) | x \in V(\tilde{W}_n^*)\} = l(x_1^{(1)}) = 5n = |E(\tilde{W}_n^*)|$

(c) 分下面八步考虑:

$$(1) \quad I_1 = l'(x_0^{(3)} x_n^{(2)}) = 1; \quad I_2 = l'(x_n^{(2)} x_n^{(1)}) = 3; \quad I_3 = l'(x_0^{(4)} x_n^{(2)}) = 2.$$

$$(2) \quad l'(x_n^{(3)} x_{n-i}^{(2)}) = 2i, \text{ 故当 } i \text{ 取遍 } \{2, 3, 4, \dots, \frac{n}{2}\} \text{ 时, } l'(x_n^{(3)} x_{n-i}^{(2)}) \text{ 取遍:}$$

$$I_4 = \{4, 6, 8, \dots, n\}$$

$$(3) \quad l'(x_i^{(3)} x_i^{(2)}) = 2i+3, \text{ 故当 } i \text{ 取遍 } \{1, 2, 3, \dots, \frac{n}{2}-1\} \text{ 时, } l'(x_i^{(3)} x_i^{(2)}) \text{ 取遍:}$$

$$I_5 = \{5, 7, 9, \dots, n+1\}.$$

$$I_6 = l'(x_n^{(2)} x_1^{(1)}) = n+2; \quad I_7 = l'(x_{11}^{(4)} x_{\frac{n}{2}-1}^{(2)}) = n+3.$$

$$(4) \quad l'(x_n^{(4)} x_j^{(2)}) = (n+2)+i, \quad i=2, 3, 4, \dots, \frac{n}{2}+1; \quad j=\frac{n}{2}+(i-2). \text{ 故当 } i \text{ 取遍 } \{2, 3, 4, \dots, \frac{n}{2}+1\} \text{ 时, } l'(x_n^{(4)} x_j^{(2)}) \text{ 取遍:}$$

$$\frac{n}{2}+1\} \text{ 时, } l'(x_n^{(4)} x_j^{(2)}) \text{ 取遍:}$$

$$I_8 = \{n+4, n+5, n+6, \dots, \frac{3n}{2}+3\}.$$

$$(5) \quad l'(x_i^{(4)} x_i^{(2)}) = \frac{3n}{2}+j, \quad j=4, 5, 6, \dots, \frac{n}{2}+1; \quad i=j-3. \text{ 故当 } i \text{ 取遍 } \{4, 5, 6, \dots, \frac{n}{2}+1\} \text{ 时, } l'(x_i^{(4)} x_i^{(2)}) \text{ 取遍:}$$

$$I_9 = \{2n+1, 2n, 2n-1, \dots, \frac{3n}{2}+4\}.$$

$$I_{10} = l'(x_{n-1}^{(2)} x_{11}^{(3)}) = 2n+2.$$

(6) $l'(x_j^{(2)}x_i^{(1)}) = 4n - (2i - 3)$, $i = 2, 3, 4, \dots, n$; $j = i - 1$. 故当 i 取遍 $\{2, 3, 4, \dots, n\}$ 时, $l'(x_j^{(2)}x_i^{(1)})$ 取遍:

$$I_{11} = \{2n + 3, 2n + 5, \dots, 4n - 5, 4n - 3, 4n - 1\}.$$

(7) $l'(x_i^{(1)}x_i^{(2)}) = 4n - 2(i - 1)$, 故当 i 取遍 $\{1, 2, 3, \dots, n - 1\}$ 时, $l'(x_i^{(1)}x_i^{(2)})$ 取遍:

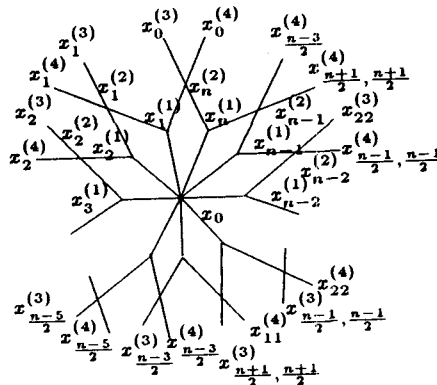
$$I_{12} = \{4n, 4n - 2, 4n - 4, \dots, 2n + 4\}.$$

(8) $l'(x_0x_i^{(1)}) = 5n - (i - 1)$, 故当 i 取遍 $\{1, 2, 3, 4, \dots, n\}$ 时, $l'(x_0x_i^{(1)})$ 取遍:

$$I_{13} = \{4n + 1, 4n + 2, \dots, 5n - 2, 5n - 1, 5n\}.$$

由 (1) – (8) 即可看出, 当 e 取遍 $E(\tilde{W}_*^*)$ 时, $l'(e)$ 取遍: $I = I_1 + I_2 + I_3 + \dots + I_{13} = \{1, 2, 3, \dots, 5n\}$, 又因 $|E(\tilde{W}_*^*)| = 5n = |I|$, 故 l' 是一个由 $E(\tilde{W}_*^*)$ 到 I 的一个 1–1 映射, 从而, $\forall e', e'' \in E(\tilde{W}_*^*)$, 若 $e' \neq e''$, 则有 $l'(e') \neq l'(e'')$.

由 (a) – (c) 便知 \tilde{W}_*^* 是优美图.



(图 2)

引理 2 当 n 为奇数时, \tilde{W}_*^* 是优美图.

证明 当 $n \leq 7$ 时容易给出 \tilde{W}_*^* 的直观优美标号图.

当 $n \geq 9$ 时定义顶点标号 $l(\tilde{W}_*^*)$ 如图 2 所示):

$$l(x_0) = 0; l(x_i^{(1)}) = 5n - (i - 1), i = 1, 2, \dots, n.$$

$$l(x_i^{(2)}) = n + (i - 1), i = 1, 2, 3, \dots, n - 1.$$

$$l(x_i^{(2)}) = l(x_i^{(1)}) - 3; l(x_0^{(3)}) = l(x_i^{(2)}) + 1.$$

$$l(x_i^{(3)}) = n - (i + 4), i = 1, 2, 3, \dots, \frac{n-3}{2}.$$

$$l(x_i^{(3)}) = 2n + (i - 1), i = 2, 3, 4, \dots, \frac{n+1}{2}.$$

$$l(x_{11}^{(3)}) = \frac{7n+3}{2}.$$

$$l(x_0^{(4)}) = l(x_0^{(3)}) + 1.$$

$$l(x_i^{(4)}) = \frac{5n+1}{2} + 2j, j = 2, 3, 4, \dots, \frac{n-1}{2}; i = j - 1.$$

$$l(x_i^{(4)}) = \frac{5n+1}{2} + (2i - 1), i = 1, 2, 3, 4, \dots, \frac{n+1}{2}.$$

类似于引理 1, 可以证明 \tilde{W}^* 是优美图.

由引理 1 及引理 2 便得:

定理: 所有双顶边星图 \tilde{W}^* 都是优美图.

基于上面定理, 我们不妨把在齿轮图每个齿的顶端加上 n 条长度为 1 的边后所得的图, 叫做 n 顶边星图. 对此, 最后提出如下猜想:

猜想: 所有 n 顶边星图都是优美图.

参 考 文 献

- [1] C. Hoede and H. Kuiper, *All wheels are graceful*, Utilitas Math., 14(1978), 311.
- [2] 马克杰、冯成进, 关于齿轮图的优美性, 数学的实践与认识, 4(1984), 72—73.

On the Gracefulness of the Star Graph with Two Top Sides

Lu Shuhuan

(Dept. of Math., Qufu Normal University, Shandong)

Abstract

In this paper, we have defined the star graph with two top sides and the star graph with n top sides. It is shown that all the star graphs with two top sides are graceful graphs. Finally, we have proposed that all the star graphs with n top sides are graceful graphs.